

УДК 622.416:537.86

Э.П. Фельдман, И.Г. Старикова

## КИНЕТИКА ТЕМПЕРАТУРНОГО РЕЖИМА УГОЛЬНОГО ПЛАСТА С УЧЕТОМ ТЕПЛОПЕРЕДАЧИ В ОКРУЖАЮЩИЕ СРЕДЫ

Институт физики горных процессов НАН Украины

*Установлены закономерности кинетики распределения температуры по простиранию угольного пласта с учетом его теплового контакта с вмещающими породами и выработанным пространством.*

**Ключевые слова:** эндогенный пожар, температура, коэффициент теплоотдачи, длина остывания

Эндогенные пожары на угольных предприятиях являются одним из сложных видов аварии. Самовозгорание угля в выработках угольных шахт происходит в полостях внезапных выбросов, а также в примыкающих к выработке целиках. Особенно опасны участки в зонах геологических нарушений. За последние 15 лет на шахтах Украины регистрируются от 6 до 36 эндогенных пожаров в год.

Существующие методы прогноза эндогенных пожаров угля, основанные на определении температуры поверхности угольного массива, концентрации в атмосфере углекислого газа и непредельных углеводородов, не позволяют однозначно указывать координаты очагов самовозгорания. Это, в свою очередь, снижает эффективность локализации и ликвидации очага горения угля [1].

Известные методы расчета температурного режима угольных пластов [2] либо вообще не учитывают теплопередачу в окружающую среду, либо учитывают лишь тепловой поток через границу раздела уголь–воздух. Между тем теплоотдача через границу уголь–вмещающие породы может существенно, а в случае пластов малой мощности – кардинально изменить температурный режим угольных пластов. Решающую роль в критерии возникновения эндогенного пожара в угольном пласте может сыграть такой физический параметр, как коэффициент теплоотдачи от угля в породу.

Цель данной работы – определение эффективности нагрева или охлаждения угольного пласта с учетом его теплопроводности и теплопередачи в окружающие породы и в выработанное пространство.

Предполагаемая работа является необходимым подготовительным этапом при решении проблемы самовозгорания угля и возникновения пожаров в горных выработках.

При построении математической модели будем исходить из известных упрощающих предположений [2].

1. Пласт угля представляет собой однородную среду с эффективной теплопроводностью  $\lambda$ , плотностью  $\gamma$  и удельной теплоемкостью  $C_\gamma$ .

2. В начальный момент времени температура в пласте равна  $T_0$ . Так как мощность пласта обычно мала (по сравнению с длиной остывания, см. далее), то неоднородностью температуры по поперечному сечению пласта пренебрегаем. Тем самым мы сводим проблему к задаче об одномерном распределении температуры по простиранию пласта.

3. Рассматриваемый пласт представляет собой полуограниченную среду по простиранию, а сверху и снизу пласт ограничен породой, температура которой предполагается неизменной и равной  $T_0$ .

4. Пласт граничит (при  $x = 0$ ) с выработанным пространством. Температура рудничной атмосферы  $T_e$  в этом пространстве предполагается неизменной и либо большей  $T_0$  (нагрев пласта), либо меньшей  $T_0$  (охлаждение пласта).

Температура  $T$  пласта подчиняется уравнению теплопроводности:

$$\frac{\partial T}{\partial t} = a \frac{\partial^2 T}{\partial x^2} \quad (0 \leq x < \infty), \quad (1)$$

где  $a$  – коэффициент температуропроводности угля.

Естественное граничное условие на бесконечности состоит в том, что:

$$\lim_{x \rightarrow \infty} T(x, t) = T_0.$$

На груди забоя при  $x = 0$  происходит теплопередача от угольного пласта в выработанное пространство. Согласно гипотезе Ньютона плотность теплового потока через границу пропорциональна разности температур приграничных слоев контактирующих сред:

$$q = \alpha_1 (T(0, t) - T_e),$$

где в нашем случае  $\alpha_1$  – коэффициент теплопередачи от угля в рудничную атмосферу.

Из теории теплопроводности известно, что плотность теплового потока пропорциональна градиенту температуры, т.е.

$$q = \lambda \frac{\partial T(x, t)}{\partial x}.$$

Приравнивая эти выражения на границе ( $x = 0$ ), приходим к следующему граничному условию:

$$\frac{\lambda}{\alpha_1} \frac{\partial T(x, t)}{\partial x} \Big|_{x=0} = T(0, t) - T_e$$

Отношение коэффициента теплопроводности  $\lambda$  к коэффициенту теплоотдачи во внешнюю среду имеет размерность длины и может быть названо «длиной остывания»,  $l_1 = \lambda/\alpha_1$ . Итак, граничное условие при  $x = 0$  записывается в виде

$$l_1 \frac{\partial T(x,t)}{\partial x} \Big|_{x=0} = T(0,t) - T_e, \quad (2)$$

где  $l_1$  – длина остывания на границе уголь–воздух.

Учет теплопередачи от угля во вмещающие породы базируется на соотношении Ньютона

$$q = \alpha_2(T_s - T_0),$$

где  $l_2$  – длина остывания породы,  $T_s$  – температура угля на границе с породой,  $T_0$  – температура породы, совпадающая, по предположению, с начальной температурой угольного пласта.

Согласно упрощающему предположению 2 в начале статьи  $T_s = T(x, t)$ . Поэтому полный тепловой поток через элемент боковой поверхности пласта (длиной  $dx$  по простиранию) равен

$$Q = \alpha_2(T(x,t) - T_0)L dx,$$

где  $L$  – периметр контура поперечного сечения пласта.

Масса угля этого элемента пласта равна

$$\gamma S dx.$$

где  $\gamma$  – плотность угля,  $S$  – площадь поперечного сечения пласта.

Соответствующая скорость изменения температуры угля, обусловленная теплопередачей от угля в породу, составляет

$$\frac{\partial T_d}{\partial t} = - \frac{\alpha_2(T(x,t) - T_0)L}{C_\gamma \gamma S}, \quad (3)$$

где  $C_\gamma$  – удельная теплоемкость угля.

Добавочное изменение температуры, определяемое формулой (3), следует внести в правую часть уравнения теплопроводности (1). Таким образом, наши упрощающие предположения позволяют учесть теплоотдачу в окружающие породы не в форме граничных условий, а путем введения добавочного слагаемого в уравнение теплопроводности.

Получается, что добавочное изменение температуры пропорционально коэффициенту теплоотдачи и обратно пропорционально теплоемкости.

Итак, имеем трансформированное уравнение теплопроводности

$$\frac{\partial T}{\partial t} = a \frac{\partial^2 T}{\partial x^2} - \frac{\alpha_2}{C_\gamma \gamma} [T(x,t) - T_0] \frac{L}{S}. \quad (4)$$

Преобразуем теперь уравнение (4) к безразмерной форме. С этой целью используем связь между коэффициентами температуропроводности и теплопроводности:

$$a = \frac{\lambda}{C_{\gamma}\gamma}.$$

Далее введем вторую длину остывания:

$$l_2 = \frac{\lambda}{\alpha_2}.$$

Отношение  $S/L$  для стандартной формы поперечного сечения пласта приближенно равно  $h$ , где  $h$  – половина мощности пласта. Координату  $x$  условимся измерять в единицах  $l_1$ , а время – в единицах  $l_1^2/a$ . После этого уравнение (4) приобретает вид (безразмерные время и координату обозначаем теми же буквами, что и размерные):

$$\frac{\partial T}{\partial t} = \frac{\partial^2 T}{\partial x^2} - b[T(x,t) - T_0] \quad (5)$$

Уравнение (5) содержит единственный безразмерный параметр

$$b = \frac{l_1^2}{l_2 h}, \quad (6)$$

а граничное условие параметров не содержит:

$$\left. \frac{\partial T(x,t)}{\partial x} \right|_{x=0} = T(0,t) - T_e \quad (7)$$

Уже на данном этапе, до конкретных асимптотического и численного анализов уравнения (5), можно отметить существенный результат, состоящий в том, что удалось объединить несколько теплофизических и геометрических характеристик в один параметр  $b$ . Величина этого параметра определяет относительное воздействие на температурный режим угольного пласта теплопередачи вдоль пласта, а также теплоотдачи в выработанное пространство и во вмещающие породы. Если  $b \ll 1$ , основной процесс – это теплопроводность вдоль простирания пласта, а при  $b \gg 1$  главенствует теплоотдача во вмещающие породы. В качественном плане это ясно из простых физических соображений. Например, длина остывания  $l_2$  велика (а параметр  $b$  мал), если мал коэффициент теплоотдачи  $\alpha_2$ , и тогда роль теплового обмена с породами мала.

Но в количественном плане выявление параметра  $b$  дает возможность найти нужную меру соотношения между различными тепловыми процессами в изучаемой системе.

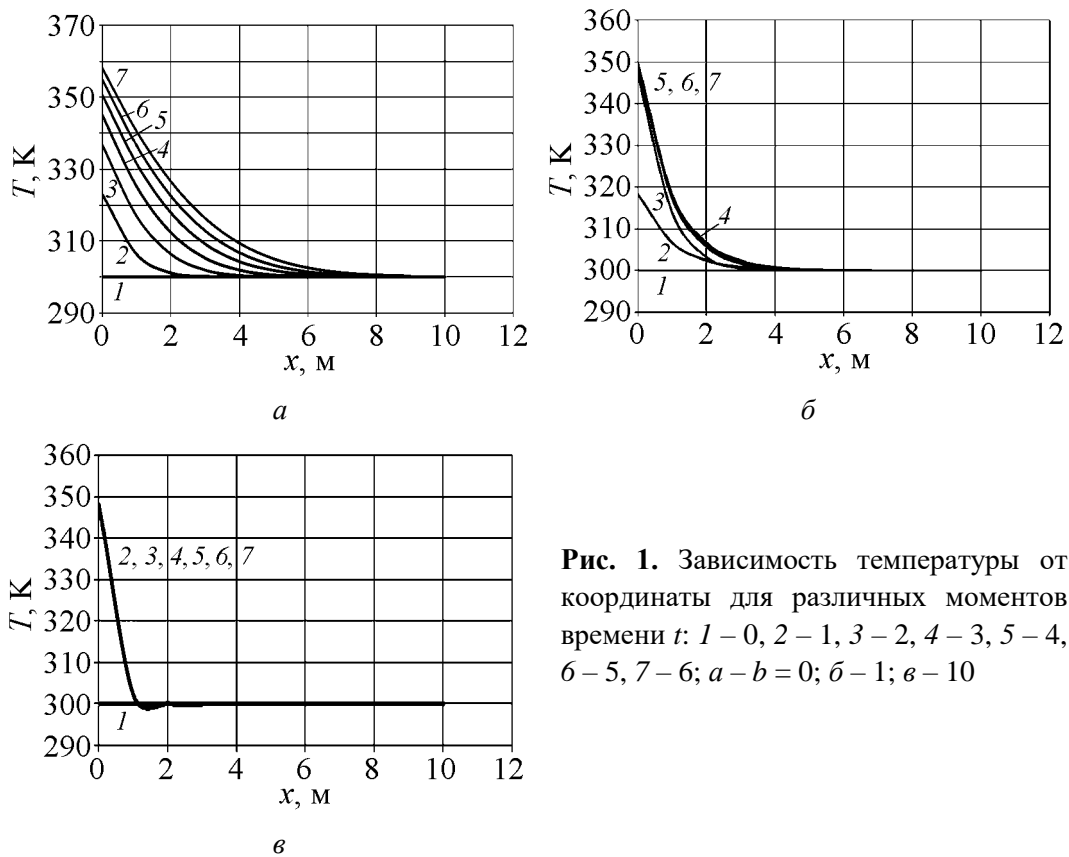
Решение уравнения (5) с учетом граничного условия (7) находится путем преобразования Лапласа по времени. Опуская промежуточные выкладки

(впрочем, имеющие определенный методический интерес), приходим к следующей формуле:

$$T(x,t) = \frac{T_e - T_0}{1 + \sqrt{b}} e^{-\sqrt{b} \cdot x} + T_0 - \frac{T_e - T_0}{\pi} \int_0^{\infty} \frac{2ue^{-(u^2+b)t} (\sin ux + u \cos ux)}{(u^2 + b)(u^2 + 1)} du \quad (8)$$

Можно проверить, что решение (8) удовлетворяет уравнению, граничным и начальным условиям. Ввиду быстрой сходимости интеграла формула (8) удобна для численных расчетов.

На рис. 1 приведены результаты расчетов зависимости температуры пласта от координаты для семи различных моментов времени. При построении этих графиков мы пользовались следующими экспериментальными данными, взятыми из источников [2, 3]:  $\lambda = 0,1-0,4$  Вт/м·К,  $\alpha_1 = 2$  Вт/м<sup>2</sup>·К,  $\alpha_2 \approx 8$  Вт/м<sup>2</sup>·К,  $a = (1,1-2,8) \cdot 10^{-7}$  м<sup>2</sup>/с,  $h = 0,5$  м.



**Рис. 1.** Зависимость температуры от координаты для различных моментов времени  $t$ : 1 – 0, 2 – 1, 3 – 2, 4 – 3, 5 – 4, 6 – 5, 7 – 6;  $a - b = 0$ ; б – 1; в – 10

Эти данные следует рассматривать как оценочные ввиду их значительного разброса из-за большого количества воздействующих геотехнических факторов. По грубой оценке длина остывания  $l_1 \approx 1$  м, длина остывания  $l_2 \approx 10$  см, масштаб времени  $l_1^2/a \sim 1$  ч, центр распределения параметра  $b$  находится вблизи единицы. Температуры  $T_0$  и  $T_e$  выбраны равными соответственно 300 и 400 К.

Рассмотрение графиков показывает, что продвижение температурного фронта во всех случаях т. е. для всех  $b$ , происходит вначале весьма быстро, а затем замедляется. При увеличении параметра  $b$ , т. е. при увеличении коэффициента теплоотдачи во вмещающие породы, либо уменьшении коэффициента теплоотдачи в рудничную атмосферу, либо уменьшении мощности пласта, зона нагрева уменьшается, прижимаясь к источнику нагрева. (Аналогичное явление происходит при охлаждении). Так, при  $b = 0$  эффективно разогревается область толщиной  $\sim 7$  м, при  $b = 1 - \sim 4$  м, при  $b = 10 - \sim 1$  м. Кроме того, при  $b \gg 1$  фронт нагрева после часового интервала стабилизируется, т. е. не продвигается в глубь пласта.

Важно отметить, что сопоставление расчетных графиков зависимости температуры от координат и от времени с данными измерений температуры позволит определить параметр  $b$ , а следовательно, найти, например, коэффициент теплоотдачи от угля в породе  $\alpha_2$ , который очень трудно определить другими методами.

1. *Стариков Г.П.* Научные основы метода прогноза очагов самовозгорания угля / Г.П. Стариков, В.В. Завражин, И.Г. Старикова, В.Н. Чистоклетов, А.Д. Меляков // Физико-технические проблемы горного производства. – 2006. – Вып. 9. – С. 102–107.
2. *Глузберг Е.И.* Теоретические основы прогноза и профилактики шахтных эндогенных пожаров / Е.И. Глузберг. – М.: Недра, 1986. – 161 с.
3. *Греков С.П.* Расчет параметров тепло- и массообмена в самонагреваемом угольном скоплении / С.П. Греков, И.Н. Зинченко // Горноспасательное дело. – 2007. – Вып.44. – С. 26–33.

Е.П. Фельдман, І. Г. Старікова

### КІНЕТИКА ТЕМПЕРАТУРНОГО РЕЖИМУ ВУГІЛЬНОГО ПЛАСТА З УРАХУВАННЯМ ТЕПЛОПЕРЕДАЧІ В НАВКОЛИШНІ СЕРЕДОВИЩА

*Встановлено закономірності кінетики розподілу температури по простяганню вугільного пласта з врахуванням його теплового контакту з вмещаючими породами і виробленим простором.*

**Ключові слова:** ендогенна пожежа, температура, коефіцієнт тепловіддачі, довжина остигання

E.P. Feldman, I.G. Starikova

SPATIAL-TEMPORAL TEMPERATURE REGIME IN A COAL SEAM  
WITH HEAT TRANSFER INTO ENVIRONMENT

*Parameters of spatial-temporal temperature distribution along the strike of a coal seam are determined taking into account its thermal contact with bearing rocks and gob.*

**Keywords:** spontaneous mine fire, temperature, heat transfer coefficient, cooling length

*Статья поступила в редакцию 28 января 2010 года*